

$$1/ \vec{P} = \frac{1}{\mu_0} (\vec{E} \cdot \vec{B}) \quad [\vec{P}] = \frac{\text{puissance}}{\text{surface}} \rightarrow \text{W.m}^{-2}$$

$$2/ \vec{g}_{em} = \epsilon_0 \mu_0 \vec{P} = \frac{1}{c^2} \vec{P} \Rightarrow [\vec{g}_{em}] = \frac{\text{puissance}}{(c^2) L^2} = \frac{\eta \frac{L^2}{T^3}}{\frac{L^4}{T^2}} = \frac{\eta}{L^2}$$

$$\text{par définition } [\vec{g}_{em}] = \frac{(m \vec{v})}{L^3} = \frac{\eta}{L^2 T} \quad \text{c'est bien homogène}$$

$$[\vec{P}_{em}] = L [\vec{g}_{em}] = \frac{\eta}{L T} \quad (\text{car } \vec{L} = \vec{0} \text{ et } \vec{P} \text{ pour particule ponctuelle})$$

ainsi puisque  $\vec{g}_{em}$  est homogène,  $\vec{P}_{em}$  l'est aussi automatiquement

3/ on suppose le solénoïde suffisamment long pour pouvoir négliger les effets de bords tout se passe alors comme si le solénoïde était infini.

\* ARQS magnétique  $\Rightarrow \vec{B}$  recalculé comme un magnétostatique puis cf. cours (symétries et invariances / th Ampère / on admet que  $\vec{B}_{ext} = \vec{0}$ )

$$\vec{B}_{int} = \mu_0 \frac{N}{L} i(\epsilon) \vec{v}_2$$

$$\text{donc si } t \leq 0 \quad \vec{B}_{int} = \mu_0 \frac{N i(0)}{L} \vec{v}_2$$

$$\text{si } t \in (0; z) \quad \vec{B}_{int}(t) = \mu_0 \frac{N i(t)}{L} \vec{v}_2$$

$$\text{si } t > z \quad \vec{B}_{int} = \vec{0}.$$

4/ \* ARQS magnétique  $\Rightarrow \vec{E}$  est induit par  $\vec{B}$  / déterminé par (NF)  $\vec{rot}(\vec{E}) = - \frac{\partial \vec{B}}{\partial t}$

(C) \* coord. cylindriques d'axe  $Oz$ .

\*  $(N \vec{v}_r, \vec{v}_\theta)$  est plan d'antisymétrie de la source - les courants - donc de  $\vec{E}$

~~\*\*~~ donc  $\vec{E}(r, \epsilon)$  porté par  $\vec{v}_\theta$

solenoidale et invariance par rotation autour de  $Oz$

translation selon  $\vec{v}_\theta$  (effets de bords négligés)  $\Rightarrow \vec{E}(r, \epsilon) = E(r, \epsilon) \vec{v}_\theta$

forme intégrale de NF: soit (C) un contour fermé orienté

$$\oint_C \vec{E} \cdot d\vec{l} = \iint_{\Sigma} \vec{rot}(\vec{E}) \cdot \vec{dS} = - \frac{d}{dt} \phi_{\rightarrow \Sigma}(\vec{B}) \quad \text{flux}$$

$\Sigma$  appuyant sur (C)

on l'applique pour (C) un cercle centré sur  $Oz$  de rayon  $r$ :

$$\oint_C \vec{E} \cdot d\vec{l} = 2\pi r E(r, \epsilon) = - \frac{d}{dt} \phi_{\rightarrow \text{disque de rayon } r}(\vec{B})$$

$$\text{si } r \leq b \quad \phi(\vec{B}) = \pi r^2 \mu_0 \frac{N i(\epsilon)}{L} \Rightarrow$$

$$\vec{E}(r < b, \epsilon) = - \frac{\mu_0 N r}{2 L} \frac{di}{dt} \vec{v}_\theta$$

$$\text{si } r > b \quad \phi(\vec{B}) = \pi b^2 \mu_0 \frac{N i(\epsilon)}{L} \Rightarrow \vec{E}(r > b, \epsilon) = - \frac{\mu_0 N b^2}{2 \pi L} \frac{di}{dt} \vec{v}_\theta$$

et donc  $\vec{E}$  nul si  $t \leq 0$  ou  $t \geq z$ .

5] PFO à la particule:  $m \frac{d\vec{v}}{dt} = q \vec{E}'(\rho, t) = -\frac{q N_0 N b^2}{2aL} \left( \frac{di}{dt} \right) \vec{v}_\theta$ . si  $t \in [0, \infty)$   
 on intègre cette relation entre 0 et  $t$  en supposant que la particule n'a pratiquement pas bougé ( $r = \text{cte} = a$ ;  $\theta = \text{cte} = \theta_{\text{ini}} \Rightarrow \vec{v}_\theta = \text{cte}$ ) donc

$$m [\vec{v}(t) - \vec{v}(0)] = -\frac{q N_0 N b^2}{2aL} \underbrace{\left( i(t) - i(0) \right)}_{i_0} \vec{v}_\theta \quad \text{et} \quad m \vec{v}(t) = \frac{q N_0 N b^2}{2aL} i_0 \vec{v}_y$$

et si  $t > 0$   $\begin{cases} \vec{E}' = \vec{0} \\ \vec{B} = \vec{0} \end{cases} \Rightarrow \vec{v}_p(t) = \vec{v}_p(0)$ .

rem: ici on a négligé la partie magnétique de la force de Lorentz:

validité  $\frac{\|\vec{v}_p \times \vec{B}\|}{\|\vec{E}'\|} \ll 1 \Leftrightarrow \frac{q \frac{N_0 N b^2}{2aL} i_0}{\frac{q N_0 N b^2}{2aL} \frac{i_0}{t}} \ll 1$  avec  $\frac{di}{dt} \approx \frac{i_0}{t}$ .

soit  $\frac{q B_0 t}{m} \ll 1$  où  $B_0 = N_0 \frac{N}{L} i_0$ .

6]  $\vec{E}'(0) = \frac{q}{4\pi\epsilon_0} \frac{\vec{p}_n}{p_n^3}$

7] par déf:  $\vec{G}_{\text{em}} = \epsilon_0 \int_{\mathbb{R}^3} \vec{E}_p \wedge \vec{B}_{\text{sol}} dV = \epsilon_0 \iiint_{\text{Vol}} \frac{q}{4\pi\epsilon_0} \frac{\vec{p}_n}{p_n^3} \wedge B_0 \vec{e}_2 dV$  où  $B_0 = N_0 \frac{N}{L} i_0$ .

soit  $\vec{G}_{\text{em}}(t < 0) = \frac{q}{4\pi} \underbrace{\left( \iiint_{\text{Vol}} \frac{\vec{p}_n}{p_n^3} dV \right)}_{-2\pi b^2 \vec{e}_x} \wedge B_0 \vec{e}_2 = \frac{q b^2 B_0}{2a} \vec{e}_y = \vec{G}_{\text{em}}(t < 0)$   
 si  $t > 0$   $\vec{G}_{\text{em}} = \vec{0}$  car  $\vec{B} = \vec{0}$  uniformément nul

8] on voit bien que ni la quantité de mot du champ, ni celle de la particule ne sont conservées par contre  $\vec{G}_{\text{em}}(t < 0) = m \vec{v}_p(t) = \frac{q b^2}{2a} N_0 \frac{N}{L} i_0 \vec{e}_y$  ainsi la quantité de mot de l'ensemble {champ + particule} est bien conservée.  
 cela valide sur ce exemple l'expression de  $\vec{g}_{\text{em}}$ .

9] dans le vide entre les 2 parois  $\vec{E}'$  vérifie l'équation de d'Alembert.

$$\Delta \vec{E}' - \frac{1}{c^2} \frac{\partial^2 \vec{E}'}{\partial t^2} = \vec{0} \quad \text{et} \quad \Delta \vec{E}' = \frac{\partial^2 E_0}{\partial x^2} e^{iwt} \vec{v}_y$$

$$\frac{\partial^2 \vec{E}'}{\partial t^2} = -\omega^2 \vec{E}' \text{ d'où après projection sur } \vec{v}_y \text{ et simplification}$$

$$\frac{\partial^2 E_0}{\partial x^2} + k^2 E_0 = 0 \quad \text{ou} \quad k = \frac{\omega}{c}$$

10]  $E \parallel \vec{v}_y \Rightarrow \vec{E}$  est tangentiel aux parois et d'après la relation de parage il doit donc être continu en  $x=0$  et  $x=L$  et donc nul en  $x=0$  et  $x=L$  comme dans le conducteur parfait  $E_0(x=0) = E_0(x=L) = 0$

10) Suite / les solutions de l'équation de QG sont  $E_0(z) = A \sin(kz) + B \cos(kz)$

(3)

et  $E_0(z=0)=0 \Rightarrow B=0$  et  $E_0(L)=0 \Rightarrow A \sin(kL)=0$  et  $A \neq 0$  sinon pas de champ.

d'où  $kL = n \pi$   $n \in \mathbb{N}^*$  ( $\sin=0$  alors  $\vec{E}=0$  donc pas de champ et  $n$  et  $-n$  sont la même solution en changeant  $A \rightarrow -A$ )

$$\text{et } \omega_n = ck_n = \frac{n\pi c}{L} \quad n \in \mathbb{N}^*$$

11) tout est identique pour  $\vec{E} = E_0(z)e^{i\omega t}\vec{v}_z$  par invariance par rotation autour de Oz donc pour chaque valeur de  $n \in \mathbb{N}^*$  il existe 2 modes

$$\vec{E} = \underbrace{\left[ A_1 \sin\left(\frac{n\pi z}{L}\right) e^{i\omega t} \vec{e}_y + A_2 \sin\left(\frac{n\pi z}{L}\right) e^{i\omega t} \vec{e}_z \right]}_{\begin{array}{l} \text{1er mode} \\ \text{direction fixe } \vec{e}_y \end{array}} \quad \underbrace{\left[ \right]}_{\begin{array}{l} \text{2ème mode} \\ \text{direction fixe } \vec{e}_z \end{array}}$$

12) On se place dans la limite où le nombre de modes est grand soit  $\frac{\pi c}{L} \ll \omega$

alors nb de modes  $N^P(\omega) = 2 \times \frac{\text{volume d'un 1/8 de sphère (car } n_x, n_y, n_z \text{ possif)}}{\text{volume d'un mode}}$

$$N^P(\omega) = 2 \times \left( \frac{\frac{4}{3}\pi \omega^3 \times \frac{1}{8}}{\left(\frac{\pi c}{L}\right)^3} \right) = \boxed{\frac{L^3 \omega^3}{3\pi^2 c^3} = N^P(\omega)}$$

13) La densité de modes  $D(\omega)$  est définie par  $N^P(\omega + d\omega) - N^P(\omega) = D(\omega) d\omega$ .

soit  $D(\omega) = \frac{dN^P}{d\omega} = \frac{L^3 \omega^2}{\pi^2 c^3}$  et  $\omega = 2\pi v$ .

$$\text{et } D(\omega) d\omega = D(v) dv \Rightarrow D(v) = D(\omega = 2\pi v) \underbrace{\frac{d\omega}{dv}}_{2\pi}$$

soit  $D(v) = \frac{L^3}{\pi^2 c^3} (2\pi v)^2 \times 2\pi =$  qui correspond bien à ! avec  $V = L^3$

$$\boxed{D(v) = \left(\frac{8\pi^2 V}{c^3}\right) v^2}$$

14)  $\bar{U}(v) = D(v) \times \frac{k_B T}{2} \times 2$  puisqu'avec le théorème d'équipartition chaque DL quadratique a une énergie moyenne  $\frac{k_B T}{2}$ .

soit  $\bar{U}(v) = A v^2 k_B T$  où  $A = \frac{8\pi^2 V}{c^3}$  .  $(2DL \text{ quadratiques pour l'OH: } E = \frac{1}{2} m \dot{x}^2 + \frac{1}{2} I \omega^2 x^2 \text{ par exemple})$

15) Le graphique de la figure 3 est en échelle log-log

par ailleurs  $\bar{U}(v) \propto v^2 \Rightarrow \log(\bar{U}(v)) = 2 \log(v) + \text{cte}$

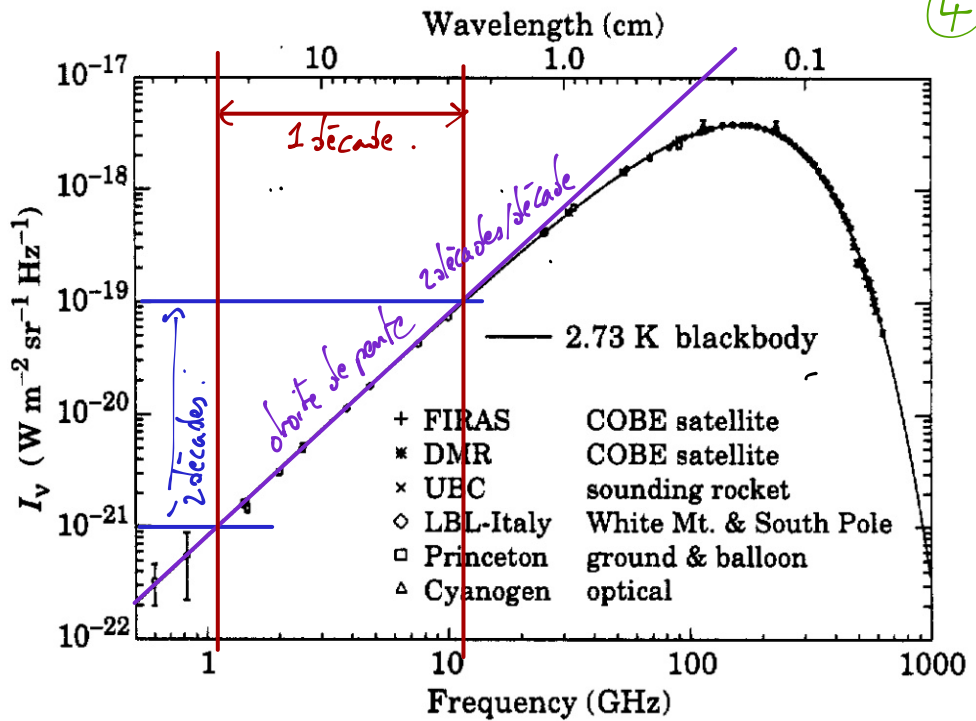
cela correspondrait alors à une droite de pente 2.

c'est bien ce que l'on observe sur la figure 3 à BF  $v \leq 10 \text{ GHz}$  (voir page suivante)

15) suite

on voit par contre que le modèle de Rayleigh-Jeans ne correspond pas aux données expérimentales à HF d'où le nom de catastrophe UV

hypothèse qui va tomber en défaut par la suite:  
- traiter chaque mode de façon canonique - c.a.d continu via le théorème d'équipartition.



$$16 | P_n(\nu) = \frac{1}{Z} e^{-\frac{\epsilon_n(\nu)}{k_B T}}$$

not

$$P_n(\nu) = \frac{1}{Z} e^{-\beta h \nu}$$

$$\text{ où } \beta = \frac{1}{k_B T}$$

facteur de Boltzmann

$$17 | \sum_{n=0}^{+\infty} P_n(\nu) = 1 \Leftrightarrow Z = \sum_{n=0}^{+\infty} e^{-\beta h \nu} = \sum_{n=0}^{+\infty} (e^{-\beta h \nu})^n = \frac{1}{1 - e^{-\beta h \nu}} = Z(\beta, \nu)$$

Somme des termes d'une série géométrique

on a bien alors  $P(n, \nu) = e^{-\beta h \nu} / (1 - e^{-\beta h \nu})$

$$18 | \bar{n}(\nu) = \sum_{n=0}^{+\infty} n P(n, \nu) = \sum_{n=0}^{+\infty} n x^n (1 - x) \quad \text{ où } x = e^{-\beta h \nu}.$$

$$\bar{n}(\nu) = \sum_{n=0}^{+\infty} n x^n - \underbrace{\sum_{n=0}^{+\infty} n x^{n+1}}_{\text{on sécale l'indice de 1}} = \sum_{n=1}^{+\infty} n x^n - \sum_{n=2}^{+\infty} (n-1)x^n = \sum_{n=2}^{+\infty} x^n = \frac{x}{1-x}.$$

l'a encore comme les termes d'une série géométrique mais indice minimal = 1

ainsi  $\bar{n}(\nu) = \left( \frac{e^{-\beta h \nu}}{1 - e^{-\beta h \nu}} \right) = \frac{1}{e^{\beta h \nu} - 1}$

rem: on peut aussi faire comme dans le cours avec  $\bar{n} h \nu = \bar{\epsilon}_n = -\frac{1}{Z} \left( \frac{\partial Z}{\partial \beta} \right)$ .

$$19 | \text{ de Q18} \quad e^{\beta h \nu} - 1 = \frac{1}{\bar{n}} \Rightarrow e^{\beta h \nu} = \frac{1}{\bar{n}} + 1 = \frac{\bar{n} + 1}{\bar{n}} \Rightarrow e^{-\beta h \nu} = \frac{\bar{n}}{\bar{n} + 1}$$

on remplace dans l'expression de  $P(n, \nu)$  et on a bien

$$P(n, \nu) = \left( \frac{1}{\bar{n} + 1} \right) \left( \frac{\bar{n}}{\bar{n} + 1} \right)^n$$

$$20 | \bar{\epsilon}(\nu) = \bar{n} h \nu = \frac{h \nu}{e^{\beta h \nu} - 1}$$

et

$$\bar{M}(\nu) = D(\nu) \bar{\epsilon}(\nu) = \left( \frac{8\pi h \nu^3}{c^3} \right) \frac{1}{(e^{\beta h \nu} - 1)}$$

(5)

21) à BF  $h\nu \ll k_B T \Leftrightarrow e^{\frac{h\nu}{k_B T}} - 1 \approx \frac{h\nu}{k_B T}$

et  $\bar{U}(\nu) = \left[ \frac{8\pi h^2}{c^3} \right] k_B T$  on retrouve l'expression classique de Q13 ! oh!

à HF  $h\nu \gg k_B T \quad e^{\frac{h\nu}{k_B T}} - 1 \approx e^{\frac{h\nu}{k_B T}}$  et  $\bar{U}(\nu) = \frac{8\pi h\nu^3}{c^3} e^{-\frac{h\nu}{k_B T}} \xrightarrow[\nu \rightarrow +\infty]{} 0$

il n'y a plus de catastrophe UV!

trace: c'est celui de la figure 3 (reproduit en Q15 / Rayleigh-Jeans et l'asymptote BF  
l'axe échelle  $\log - \log$ ).

22) avec l'hypothèse corpusculaire d'Einstein: un électron ne peut être arraché que si  $h\nu > W_0 \Leftrightarrow \frac{hc}{\lambda} > W_0$  ou encore  $\lambda < \frac{hc}{W_0} = \text{diam}$

AN pour Lithium:  $d_s = \frac{1.2}{2.4} = 0.5 \text{ nm} \Rightarrow$  par d'électrons arrachés pour  $\lambda = 546 \text{ nm} > d_s$

23) si  $v=0$  des électrons sont arrachés cf. raisonnement ci-dessus. La direction d'émission est randomiste aléatoire et il n'y a pas de champs  $\vec{E}$  ( $v=0$ ) pour "guider" les électrons vers l'anode  $\Rightarrow$  certains d'entre eux arrivent tout de même dessus d'où  $i \neq 0$ .

si  $v < 0$  alors  $\vec{E}$  dirigé de la cathode vers l'anode ( $\vec{E} = -\nabla V$ ) /

la force électrique  $-e\vec{E}$  s'oppose alors au mouvement des électrons  .

vers l'anode / si il n'est pas suffisamment fort alors les électrons s'arrêtent avant d'atteindre l'anode et repartent vers la cathode.

24)  $E_C = \frac{E}{n} \quad$  \* si l'énergie du photon est intégralement transmise à l'électron alors l'énergie cinétique du photon en sortant de la cathode sera  $E_C = h\nu - W_0$   
\* on détermine le potentiel d'arrêt avec un TEC: non conservatif  $E_p = -eV$

$E_C = -eV_{\text{arrêt}}$  où  $V_{\text{arrêt}} = -V_0$  à la limite soit  $V_0 = \frac{h\nu - W_0}{e}$

Dans cette approche corpusculaire  $V_0$  ne dépend que  $\nu$  et pas du flux lumineux!

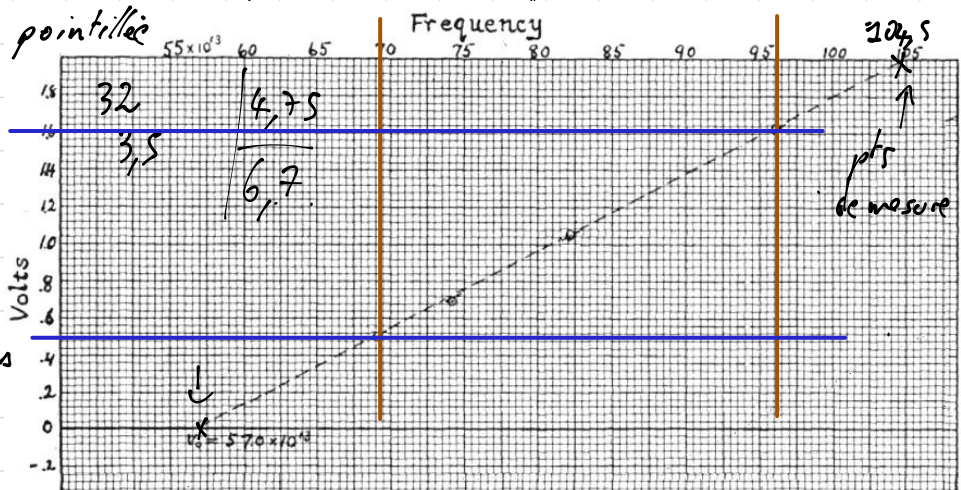
25) on lit la partie  $\frac{h}{e}$  de la droite pointillée

$$\frac{h}{e} = \frac{2,0 - 0}{(104,5 - 57)/10^{13}} = \frac{2}{47,5} \times 10^{-13}$$

$$h = \frac{2}{47,5} \times e \times 10^{-13}$$

$$h = \frac{3,2}{47,5} \cdot 10^{-32} = \frac{32}{47,5} \cdot 10^{-34} \text{ J.s}$$

$h \approx 6,7 \cdot 10^{-34} \text{ J.s}$



(6)

25 suite: demander un calcul d'incertitude n'est pas justicier.

- on imagine que le rend du traîneau est une incertitude de mesure mais ce n'est dit nulle part
- il n'est plus dans l'esprit du programme de calculer une incertitude sur une modélisation
- à l'époque il devrait y avoir une incertitude sur  $e$  (on va la négliger du coup ...)
- il faudrait utiliser toutes les mesures ce qui est fastidieux sans ordinateur/calculatrice mais tout de même:

$$\text{on a } \frac{h}{e} = \frac{v_2 - v_1}{s_2 - s_1} \text{ et } \frac{\Delta h}{h} = \sqrt{\left(\frac{\Delta(v_2 - v_1)}{(v_2 - v_1)}\right)^2 + \left(\frac{\Delta(s_2 - s_1)}{(s_2 - s_1)}\right)^2}$$

$$\Delta(v_2 - v_1) = \sqrt{2} \Delta U = \frac{0,3}{5} = 0,06 \text{ V} \quad \Delta(s_2 - s_1) = \sqrt{2} \times 0,5 \cdot 10^{-3} = 0,7 \cdot 10^{-3}.$$

$$\text{et } \frac{\Delta h}{h} = \sqrt{\left(\frac{0,06}{1,1}\right)^2 + \left(\frac{0,7}{27}\right)^2} = 6,4 \cdot 10^{-2} \Rightarrow \Delta h \sim 0,4 \cdot 10^{-3} \text{ J.s}^{-1}$$

AN très délicate sans calculatrice

26 lorsqu'on applique  $v$  positif alors  $\vec{E}$  dirigé vers la cathode et la proportion de photons qui atteint l'anode augmente jusqu'à saturation où tous les photons arrachés à la cathode atteignent l'anode.

$I_{\text{sat}}$  est alors proportionnel à  $\phi$  qui est proportionnel au nombre de photons qui touchent la cathode par unité de temps.

27 si on note  $P$  la puissance lumineuse arrivant sur la cathode alors

$$P = \frac{dN}{dt} h \varphi \text{ où } dN \text{ est le nombre de photons qui arrivent sur la cathode entre } t \text{ et } t+dt$$

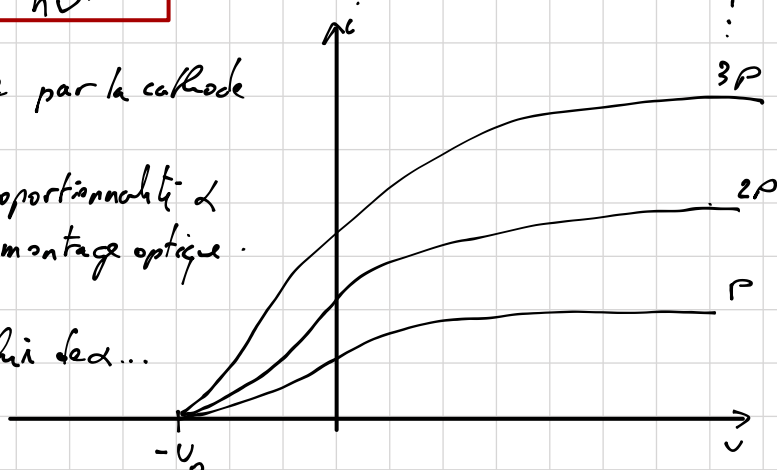
le nombre d'électrons est  $dN_e = \eta dN$

$$I_{\text{sat}} = \frac{dN_e}{dt} e = \eta e \frac{dN}{dt} = \left(\frac{\eta e}{h\nu}\right) P \quad \text{oh observation iii)}$$

! dans cette expression  $P$  est la puissance reçue par la cathode et pas celle émise par la source lumineuse.

bien sur  $P = \varphi$  l'émission mais la constante de proportionnalité  $\varphi$  dépend de la géométrie (distance / angles) du montage optique.

$$I_{\text{sat}} = \left(\frac{\eta e}{h\nu}\right) \varphi \text{ et par facile de s'affranchir des ...}$$



28 C'est un exercice de mathématiques qui n'a sans doute pas sa place dans une telle épreuve

$$\overline{n^2} = \sum_{n=0}^{+\infty} n^2 P_n = \sum_{n=0}^{+\infty} \frac{1}{n+1} n^2 x^n$$

$$\text{or } \sum_{n=0}^{+\infty} (n+1)(n+2)x^n = \frac{d^2}{dx^2} \left( \sum_{n=0}^{+\infty} x^{n+2} \right) = \frac{d^2}{dx^2} \left( \sum_{n=0}^{+\infty} x^n \right) = \frac{d^2}{dx^2} \left( \frac{1}{1-x} \right) = \frac{d}{dx} \left( \frac{1}{(1-x)^2} \right) = \frac{2}{(1-x)^3}$$

$$\text{et } \sum (n+1)(n+2) P_n = \sum n^2 P_n + 3 \sum n P_n + 2 \sum P_n$$

$$\frac{1}{1-x} = \frac{1}{\left(\frac{1}{n+2}\right)} = \overline{n} + 1.$$

(28) limite d'en  $\bar{n}^2 = \frac{2}{(\bar{n}+1)} (\bar{n}+1)^3 - 3\bar{n} - 2 = 2(\bar{n}+1)^2 - 3\bar{n} - 2$

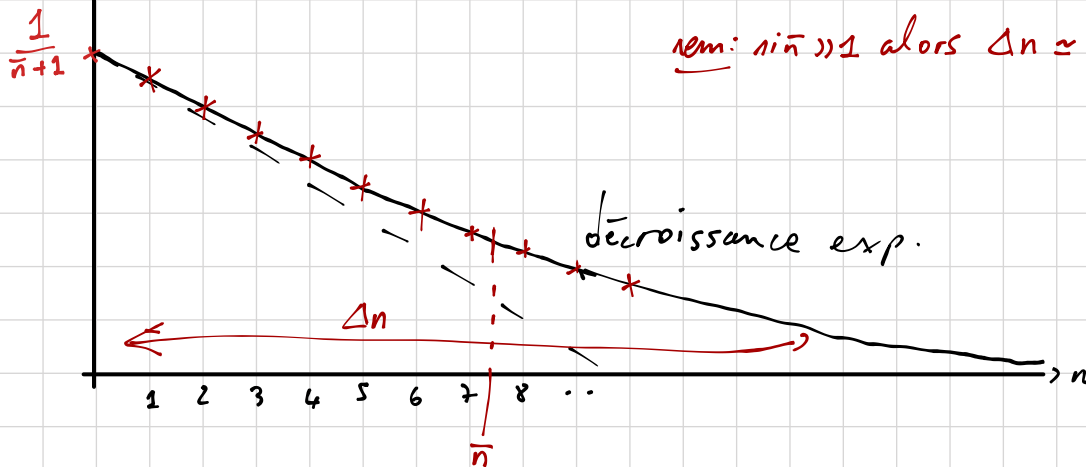
(7)

$$= 2\bar{n}^2 + \bar{n}$$

d'où  $(\Delta n)^2 = \bar{n}^2 - \bar{n}^2 = \bar{n}^2 + \bar{n} = \bar{n}(\bar{n}+1)$ .

$$\boxed{\Delta n = \sqrt{\bar{n}(\bar{n}+1)}}$$

29]



rem: si  $\bar{n} \gg 1$  alors  $\Delta n \approx \bar{n}$

30)  $P = \phi h\nu$  puisque chaque photon transporte une énergie  $h\nu$ .

$$\phi = \frac{P}{h\nu} = \frac{P d}{hc}$$

AN:  $\phi = \frac{10^{-3} \cdot 4 \cdot 10^{-7}}{6.6 \cdot 10^{-34} \cdot 3 \cdot 10^8} = 2,0 \cdot 10^{25} \text{ s}^{-1}$

$326,6 \approx 20$ -  
à 2CS.

durée moyenne entre 2 émissions  $\frac{1}{\phi} \approx 5,0 \cdot 10^{-16} \text{ s}$ .

31) on subdivise  $\tau$  en  $N$  intervalles élémentaires.

on note  $p$  la probabilité qu'un photon soit émis pendant un intervalle élémentaire  
photon émis proba individuelle ( $1-p$ ) (pas de photons émis).  
 $\square \square \square \square \dots \square \square \square N$  intervalles

on place  $p$  fois un photon dans chaque case car on néglige les émissions multiples.

(ohni  $\delta t \rightarrow 0 \Leftrightarrow N \rightarrow +\infty$ )

$\Rightarrow \binom{N}{p}$  configurations de proba individuelles  $p^n (1-p)^{N-n}$ .

on obtient une loi binomiale  $P_n = \binom{N}{n} p^n (1-p)^{N-n}$ .

formulaire:  $\bar{n} = Np \Rightarrow p = \frac{\bar{n}}{N}$ . résultat intuitif.

rem: il n'y a pas de question 32...

33)  $\Delta n^2 = N \left( \frac{\bar{n}}{N} \right) \left( 1 - \frac{\bar{n}}{N} \right) \approx \bar{n}$  si  $\bar{n} \ll N$ . soit  $\boxed{\Delta n = \sqrt{\bar{n}}}$  si  $N \gg \bar{n}$ .

pour le rayonnement thermique  $\Delta n = \bar{n}$

ainsi si  $\bar{n}$  grand  $\Delta n_{\text{laser}} \ll \Delta n_{\text{thermique}}$  le laser est beaucoup plus stable.

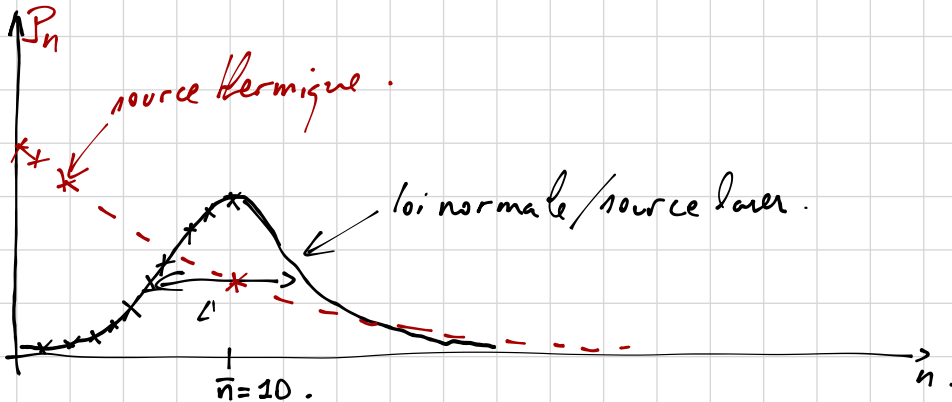
34) on a  $(1-p)^{N-n} = \exp \underbrace{\left( (N-n) \ln \left( 1 - \frac{\bar{n}}{N} \right) \right)}_{-\frac{\bar{n}}{N}} \sim e^{-\frac{\bar{n}}{N}}$   $\underset{N \rightarrow +\infty}{\sim}$

34) mitte.  $P_n \sim \frac{(N!)^n}{(N-n)! n!} \left(\frac{\bar{n}}{N}\right)^n e^{-\bar{n}} (1-\rho)^{N-n}$  (8)

$$\sim \underbrace{\left(\frac{N!}{(N-n)! N^n}\right)}_{\rightarrow 1} \frac{\bar{n}^n}{n!} e^{-\bar{n}}$$

on a donc bien  $\boxed{P_n \xrightarrow[N \rightarrow +\infty]{} \frac{\bar{n}^n}{n!} e^{-\bar{n}}}$  loi de Poisson.

35]



36) entrée de la dynode 1:  $1e^- \Rightarrow$  sortie de la dynode 1  $2e^-$   
 $\Rightarrow$  sortie de la dynode 2:  $2^2$  électrons  
 $\Rightarrow \dots$  sélection de la dynode k:  $2^k$  électrons

$i = \frac{\delta q}{\delta t_{\text{pic}}}$  où  $\delta t_{\text{pic}}$  est la largeur typique d'un pic et  $\delta q = -e \frac{\Delta N}{\text{nombre d'électrons}}$

$$\text{et } v_{\text{max}} = -R \alpha i \Rightarrow v_{\text{max}} \sim \frac{R_C 2^k e}{\delta t_{\text{pic}}} = \frac{10^3 \cdot 2^{20} \cdot 2 \cdot 10^{-19}}{2 \cdot 10^{-8}} \sim 1 \cdot 10^{-2} V.$$

largement détectable.

37)  $P = h P_1$  et  $P_2 = R i_R^2 = \frac{\Delta U^2}{R} \Rightarrow P = \frac{k (\Delta U)^2}{R}$

$$R = \frac{k (\Delta U)^2}{P} = \frac{20 \cdot 10^4}{2} = 1 \cdot 10^5 \Omega$$

on applique le TE à 1e<sup>-</sup> entre son départ d'une dynode et son arrivée sur la suivante.

$$\Delta E_C = e \Delta U$$

on a ainsi  $\Delta E_C = 100 eV \gg W_{\text{gap}} \approx 2,2 eV$  c'est pourquoi l'impact d'un électron peut permettre d'en arracher plusieurs.

38) on utilise Q30 et Q27:  $F = \eta \phi = \frac{\eta P}{\Delta U} = \frac{\eta P \lambda}{hc}$

39) on lit sur la figure 6b:  $\boxed{\frac{F}{P} = 10^5 \cdot 10^{\frac{155}{22}} \approx 3,5 \cdot 10^5 \text{ Hz.pW}^{-1} = 3,5 \cdot 10^{22} \text{ Hz.W}^{-1}}$

comme on est sans calculatrice on approche à:

$$\eta = \frac{hc \frac{F}{P}}{\lambda} = \frac{3 \cdot 10^8 \cdot 6,6 \cdot 10^{-34} \times 3,5 \cdot 10^{22}}{4 \cdot 10^{-7}} \approx \frac{7}{40} \approx \frac{1}{6}$$

(40) on doit avoir  $\frac{1}{\tau_{\text{pic}}}$ ;  $\delta t_{\text{pic}}$  c'est à dire un intervalle de temps moyen entre 2 pic supérieurs à la largeur d'un pic sinon les pics se mélangent, se superposent et le détecteur saturate.

ainsi  $P \leq \frac{1}{\delta t_{\text{pic}}} = f_{\text{max}} = \frac{1}{2 \cdot 10^{-8}} = 5 \cdot 10^7 \text{ Hz}$

l'ordre de grandeur correspond assez bien aux mesures de la figure 6.a) régime linéaire jusqu'à  $10^7 \text{ Hz}$  environ et saturation à  $4 \cdot 10^7 \text{ Hz}$  environ.

et  $\frac{1}{P} = \left(\frac{\rho}{\rho}\right) \frac{1}{P} \geq \delta t_{\text{pic}} \Rightarrow P \leq \frac{1}{\left(\frac{\rho}{\rho}\right) \delta t_{\text{pic}}} = P_{\text{max}}$  AN:

AN:  $P_{\text{max}} = \frac{1}{3.5 \cdot 10^{17} \times 2 \cdot 10^{-8}} = \frac{1}{7} \cdot 10^{-9} \approx 1,4 \text{ nW}$  valeur très faible:  
pour  $d = 400 \text{ nm}$ .  $\cancel{\text{fort risque de saturation}} \Rightarrow$  à émettre mais à l'inverse, grande sensibilité aux faibles puissances

(41) Encore une question qui aurait plus sa place dans un problème de Maths

$$P_n = \frac{\bar{n}^n}{n!} e^{-\bar{n}}. \quad \Gamma = \frac{\eta P}{\Delta \nu} = \frac{\eta P d}{hc} \text{ et}$$

$$\bar{n} = \Gamma d = \frac{\eta P d \Gamma}{hc} = \frac{1}{4} \frac{10^{-13} \cdot 4 \cdot 10^{-7} \cdot 10^{-1}}{2 \cdot 10^{-25}} = 5 \cdot 10^3.$$

et cf. texte p23  $\Delta n \approx \sqrt{\bar{n}} \approx 7 \cdot 10^1$

(42) pour une statistique de Poisson  $SNR = \frac{\bar{n}}{\sqrt{\bar{n}}} = \sqrt{\bar{n}} \propto \sqrt{P}$ .

on peut vérifier cette dépendance de  $SNR$  en fonction de  $P$  et vérifier qu'à l'échelle log-log on a bien une droite de pente  $1/2$ .

(par exemple pour l'origine thermique on aurait  $SNR$  sensiblement indépendant de  $P$ ). il s'agit alors d'une "validation indirecte": la loi de Poisson est possible car conforme aux observations.

(43)  $L_C = c \bar{t}_C = \frac{c^2}{\Delta \nu} \quad \bar{t}_C = \frac{c^2}{c \Delta \nu} = \frac{(10^{-6})^2}{3 \cdot 10^8 \cdot 3 \cdot 10^{-7}} = 10^{-24} \text{ s}$

(44)  $\bar{t}_C \ll \tau_{\text{pic}}$  temps de réponse du récepteur  $\Rightarrow$  il est très difficile d'observer les fluctuations d'intensité à l'échelle temporelle  $\bar{t}_C$  car beaucoup plus rapide que le détecteur.

(45) rem: si  $N_m = 1$  on retrouve bien l'expression de la question 28.

$$\Delta n = \sqrt{\bar{n} \left(1 + \frac{\bar{n}}{N_m}\right)} \text{ donc}$$

si  $N_m > \bar{n}$  alors  $\Delta n = \sqrt{\bar{n}}$  on retrouve le résultat d'une statistique de Poisson donc pour observer des fluctuations de Bose-Einstein aux temps de détection accessibles ex: il faut une source très monochromatique pour avoir  $\bar{t}_C$  plus grand et n'exciter qu'un seul mode.

